

·基础研究·

# SEMA6D 对人骨肉瘤 MG63 细胞生物学行为的影响<sup>△</sup>

都展鸿，杨维经，王雨婵，付雅璐，李庆慧，孟玉菡，刘兴龙\*

(山东第二医科大学附属医院，山东潍坊 261000)

**摘要：**[目的] 探讨信号素 6D (semaphorin 6D, SEMA6D) 对骨肉瘤细胞增殖、侵袭的影响及其机制。[方法] 将 MG63 细胞分为空白对照组 (Ctrl 组)、阴性对照组 (si-NC 组) 和转染靶向 SEMA6D 的 si-RNA 组 (si-SEMA6D 组)，给予相应的体外转染。采用 CCK-8、细胞划痕、Transwell 侵袭实验检测 MG63 细胞增殖、迁移及侵袭能力的变化。Western blot 检测下游相关信号通路蛋白表达情况。[结果] 培养 24 h，三组 CCK-8 值差异无统计学意义 ( $P>0.05$ )，在 48 h 和 72 h，Ctrl、si-NC 组 CCK-8 值显著高于 si-SEMA6D 组 [(0.7±0.1) vs (0.7±0.1) vs (0.4±0.1),  $P<0.001$ ; (1.7±0.1) vs (1.6±0.1) vs (1.0±0.1),  $P<0.001$ ]。Transwell 侵袭实验显示，Ctrl、si-NC 组细胞侵袭数显著高于 si-SEMA6D 组 [(435.0±28.2) vs (400.7±41.4) vs (291.3±31.1),  $P=0.022$ ]。划痕 24 h、48 h，Ctrl、si-NC 组划痕愈合率显著高于 si-SEMA6D 组 [(48.8±3.3)% vs (40.6±3.4)% vs (16.6±2.4)%， $P<0.001$ ; (74.7±1.1)% vs (67.6±3.0)% vs (49.5±2.3)%， $P<0.001$ ]。Western blot 检测表明，相较于 si-SEMA6D 组，Ctrl 组、si-NC 组 p-PI3K、p-AKT、p-p38、MMP2 的蛋白表达水平平均显著增加 ( $P<0.05$ )，而三组中 P13K、AKT、p38、Bcl-2 及 Bax 的表达水平差异无统计学意义 ( $P>0.05$ )。[结论] 沉默 SEMA6D 后骨肉瘤 MG63 细胞可通过抑制 PI3K/AKT 及 p38-MAPK 信号通路，抑制细胞增殖、迁移及侵袭能力。

**关键词：**骨肉瘤，SEMA6D，侵袭，PI3K/AKT

中图分类号：R738.1

文献标志码：A

文章编号：1005-8478 (2025) 06-0535-06

**Effect of SEMA6D on biological behavior of human osteosarcoma MG63 cells // DU Zhan-hong, YANG Wei-jing, WANG Yu-chan, FU Ya-lu, LI Qing-hui, MENG Yu-han, LIU Xing-long. Affiliated Hospital, Shandong Second Medical University, Weifang, 261000 Shandong, China**

**Abstract:** [Objective] To investigate the effects of semaphorin 6D (SEMA6D) on the proliferation and invasion of osteosarcoma cells and its mechanism. [Methods] MG63 cells were divided into blank control group (the Ctrl group), negative control group (the si-NC group) and the group transfected with si-RNA targeting SEMA6D (the si-SEMA6D group), and corresponding transfection was performed in vitro. The changes of proliferation, migration and invasion ability of MG63 cells were detected by CCK-8, cell scratch and Transwell invasion assay. In addition, western blot analysis was performed to detect the protein expression of downstream related signaling pathways. [Results] After 24 hours culture, there was no significant difference in CCK-8 among the three groups ( $P>0.05$ ). At 48 hours and 72 hours, the Ctrl and si-NC groups were significantly higher than the si-SEMA6D groups in CCK-8 assay [(0.7±0.1) vs (0.7±0.1) vs (0.4±0.1),  $P<0.001$ ; (1.7±0.1) vs (1.6±0.1) vs (1.0±0.1),  $P<0.001$ ]. The Ctrl and si-NC groups were significantly higher than the si-SEMA6D group in Transwell invasion assay [(435.0±28.2) vs (400.7±41.4) vs (291.3±31.1),  $P=0.022$ ]. At 24 hours and 48 hours, the Ctrl and si-NC groups had significantly higher scratch healing rate than the si-SEMA6D group [(48.8±3.3)% vs (40.6±3.4)% vs (16.6±2.4)%， $P<0.001$ ; (74.7±1.1)% vs (67.6±3.0)% vs (49.5±2.3)%， $P<0.001$ ]. As consequence of western blot analysis, the Ctrl group and si-NC group were significantly increased compared with the si-SEMA6D group in protein expression levels of p-PI3K, p-AKT, p-P38 and MMP2 ( $P<0.05$ ), although there were no significant differences in the expression levels of P13K, AKT, p38, Bcl-2 and Bax among the three groups ( $P>0.05$ )。[Conclusion] SEMA6D silencing of osteosarcoma MG63 cells can inhibit cell proliferation, migration and invasion by inhibiting PI3K/AKT and p38-MAPK signaling pathways.

**Key words:** osteosarcoma, SEMA6D, invasion, PI3K/AKT

DOI:10.20184/j.cnki.Issn1005-8478.110641

△基金项目: 潍坊市科技发展计划项目(编号:2022YX032); 山东省学校卫生协会重点课题(编号:JKZX2023136)

作者简介: 都展鸿, 硕士研究生, 研究方向: 骨病, (电子信箱)du37071999@163.com

\*通信作者: 刘兴龙, (电子信箱)lxl7481@163.com

骨肉瘤(osteosarcoma, OS)是最常见的恶性骨肿瘤,以青少年为主,其具有组织特异性、局部侵袭及快速转移等特征<sup>[1-3]</sup>。OS的发病机制尚不明确,临床治疗主要以新辅助化疗、手术联合化疗为主<sup>[4]</sup>,但由于其易于早期转移和耐药的原因,OS患者的5年生存率不容乐观。因此探索OS恶性生长及转移机制,寻找有效治疗靶点对改善患者预后具有重要意义。信号素6D(semaphorin 6D, SEMA6D)属于单通道膜结合型信使分子,位于人2号染色体上,是第6类信使分子中最具特征性的因子<sup>[4]</sup>。已被证实参与中枢神经系统线路发育<sup>[5]</sup>、心脏发育<sup>[6]</sup>等过程。另外研究表明,SEMA6D在不同类型的肿瘤中发挥着不同的作用。例如,SEMA6D对肺腺癌、肾透明细胞癌具有抗肿瘤活性作用<sup>[7, 8]</sup>,却可促进结直肠癌和胃癌的血管生成<sup>[9, 10]</sup>。然而,SEMA6D在OS发生、进展中的作用机制尚不清楚,且国内相关报道不多。因此本研究以人OS细胞进行实验,旨在探究SEMA6D对MG63细胞增殖、侵袭的影响,并从相关信号通路方面探究其可能作用机制,为OS诊断、治疗提供新的肿瘤标记物、靶点。

## 1 材料与方法

### 1.1 主要材料与试剂

骨肉瘤MG63细胞株购于中国科学院细胞库;高糖DMEM培养液购自武汉塞维尔生物科技公司;胎牛血清购自澳洲BOVOGEN公司。

BCA蛋白试剂盒(碧云天生物技术有限公司),ECL发光液(北京康为世纪有限公司),SDS-PAGE凝胶试剂盒(武汉塞维尔生物科技公司),CCK-8试剂(亚科因生物技术有限公司),Lipofectamine 3000(美国赛默飞世尔科技公司),Matrigel胶(美国BD公司),Transwell小室(康宁生物科技有限公司),SEMA6D抗体(美国赛默飞世尔科技公司),p-PI3K抗体(美国Affinity公司),PI3K、MMP2、Bcl-2、Bax抗体(杭州华安生物技术有限公司),p-AKT、AKT、p-p38、p38抗体(美国Cell Signaling Technology公司),si-RNA(苏州吉玛基因公司)。

### 1.2 体外培养

#### 1.2.1 细胞培养

将MG63细胞置于含10%FBS的高糖DMEM培养基中,在37°C、5%CO<sub>2</sub>细胞培养箱中进行培养。当细胞密度达到80%左右时,使用0.25%胰蛋白酶对细胞进行消化和传代处理,随后将传代后的MG63细

胞继续放回培养箱中培养。

#### 1.2.2 si-RNA的转染和细胞分组

将MG63细胞在转染前24 h接种于6孔板中,使其24 h后细胞度达70%~80%。使用Lipofectamine 3000进行细胞转染,将细胞分为空白对照组(Ctrl组)、阴性对照组(si-NC组)和si-SEMA6D组,转染后6 h后换完全培养基培养,48 h后提取蛋白进行验证。si-RNA序列:5'-GCCUUGCCGAAGCUUAU-AATT-3'、5'-UUUAAGCUUCGGCAAGGCTT-3'。

### 1.3 检测方法

#### 1.3.1 细胞增殖实验

MG63细胞经si-RNA转染48 h后,将细胞消化收集,重悬后进行计数。将Ctrl组、si-NC组和si-SEMA6D组的MG63细胞以每孔5 000个均匀接种至96孔板中,每孔加入100 μL CCK-8试剂,在培养箱中孵育2 h后,用酶标仪测定MG63细胞在450 nm处的吸光度。并于继续孵育后第1、2、3 d后分别检测1次,记录OD450nm数据进行统计分析。

#### 1.3.2 细胞侵袭实验

MG63细胞转染si-RNA 48 h后,细胞在含1%FBS的培养基中饥饿处理24 h,随后消化收集细胞并在无血清的DMEM培养基中重悬。提前3 h在Transwell小室的上室中铺好Matrigel胶(1:8稀释)并完成基底膜水化。将重悬的细胞按每孔13 000个均匀种植在上室中,下室加入500 μL含20%FBS的DMEM培养基继续培养。24 h后取出小室,弃去上室液体并用棉签擦拭,甲醇固定30 min后用结晶紫染液染色20 min,PBS溶液冲洗3次,在倒置显微镜下随机采集5个视野,计算侵袭细胞平均数即表示细胞的侵袭能力。

#### 1.3.3 划痕实验

MG63细胞转染si-RNA 48 h后,消化收集细胞以适当密度种植至6孔板中,培养箱培养24 h后细胞密度达90%~100%时,选用200 μL无菌枪头从上到下均匀划线,确保划痕均匀一致。用PBS彻底冲洗脱落细胞,每孔加入适量不含血清的高糖DMEM培养基继续培养。在0、24、48 h分别进行显微镜观察并记录。划痕中心区域的面积使用Image J软件进行量化分析。划痕愈合率=[(0 h划痕面积-24 h划痕面积)/0 h划痕面积]×100%。

#### 1.3.4 Western blot检测

细胞转染si-RNA 48 h后消化收集MG-63细胞,使用现配制的裂解液裂解提取细胞蛋白,并通过BCA法进行蛋白定量。将上述蛋白与5×上样缓冲液

按适当的比例混合后金属浴煮沸10 min使其完全变性。取适量蛋白进行Western blot实验，使用ECL法对蛋白进行发光显色，以 $\beta$ -actin作为内参对照，检测细胞内SEMA6D、P13K、AKT及MMP2等蛋白表达水平。蛋白的相对表达量通过Image J软件分析。

#### 1.4 统计学方法

应用SPSS 25.0软件进行统计学分析，计量资料以 $\bar{x} \pm s$ 表示，符合正态分布的数据采用单因素方差分析，两两比较采用LSD检验。资料呈非正态分布时，选用秩和检验。 $P < 0.05$ 为差异有统计学意义。

## 2 结果

### 2.1 细胞增殖实验

CCK-8细胞增殖结果见表1。与培养24 h相比，培养48和72 h三组CCK-8细胞均显著增加( $P < 0.05$ )，培养24 h，三组CCK-8细胞值的差异无统计学意义( $P > 0.05$ )，在48、72 h，Ctrl、si-NC组细胞值显著高于si-SEMA6D组( $P < 0.05$ )。

### 2.2 细胞侵袭实验

Transwell侵袭实验结果见图1、表1，Ctrl、si-NC组细胞侵袭数显著高于si-SEMA6D组( $P < 0.05$ )。

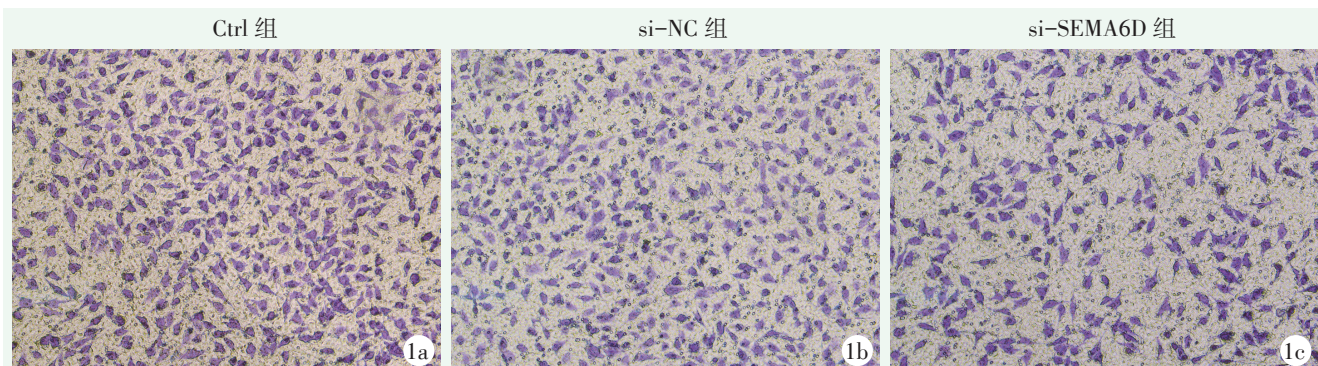


图1. Transwell实验检测细胞MG63细胞侵袭能力( $\times 100$ )。1a: Ctrl组；1b: si-NC组；1c: si-SEMA6D组。

Figure 1. Transwell assay evaluated the invasion ability of MG63 cells ( $\times 100$ ). 1a: Blank control group; 1b: Negative control group; 1c: si-SEMA6D group.

表1. 体外实验三组检测结果( $\bar{x} \pm s$ )与比较

Table 1. Comparison of test results among the three groups in vitro ( $\bar{x} \pm s$ )

| 指标                  | Ctrl组(n=5) | si-NC组(n=5) | si-SEMA6D组(n=5) | P值     |
|---------------------|------------|-------------|-----------------|--------|
| CCK-8(OD值)          |            |             |                 |        |
| 24 h                | 0.2±0.1    | 0.2±0.1     | 0.2±0.1         | 0.726  |
| 48 h                | 0.7±0.1    | 0.7±0.1     | 0.4±0.1         | <0.001 |
| 72 h                | 1.7±0.1    | 1.6±0.1     | 1.0±0.1         | <0.001 |
| P值                  | <0.001     | <0.001      | <0.001          |        |
| Transwell试验         | 435.0±28.2 | 400.7±41.4  | 291.3±31.1      | 0.022  |
| 划痕试验(%)             |            |             |                 |        |
| 24 h                | 48.8±3.3   | 40.6±3.4    | 16.6±2.4        | <0.001 |
| 48 h                | 74.7±1.1   | 67.6±3.0    | 49.5±2.3        | <0.001 |
| P值                  | <0.001     | <0.001      | <0.001          |        |
| Western blot(相对表达量) |            |             |                 |        |
| p-P13K              | 2.0±0.2    | 1.5±0.2     | 0.4±0.1         | <0.001 |
| P13K                | 1.7±0.2    | 1.6±0.3     | 1.8±0.2         | 0.373  |
| p-AKT               | 1.6±0.2    | 1.6±0.2     | 1.1±0.2         | 0.047  |
| AKT                 | 2.0±0.2    | 1.9±0.2     | 2.2±0.3         | 0.217  |
| p-p38               | 2.2±0.2    | 1.9±0.2     | 1.2±0.2         | 0.013  |
| p38                 | 2.3±0.1    | 1.8±0.2     | 1.8±0.2         | 0.780  |
| MMP2                | 2.4±0.1    | 2.3±0.1     | 1.7±0.2         | 0.003  |
| Bcl-2               | 1.7±0.3    | 1.7±0.2     | 1.9±0.2         | 0.383  |
| Bax                 | 1.8±0.2    | 1.7±0.2     | 1.8±0.3         | 0.606  |
| SEMA6D              | 2.4±0.2    | 1.9±0.2     | 1.2±0.1         | 0.006  |

### 2.3 划痕实验

细胞划痕实验结果见图2、表1。与划痕24 h相比，划痕48 h后，三组细胞划痕愈合率均显著增加

( $P<0.05$ )，划痕24、48 h，Ctrl、si-NC组划痕愈合率显著高于si-SEMA6D组( $P<0.05$ )。

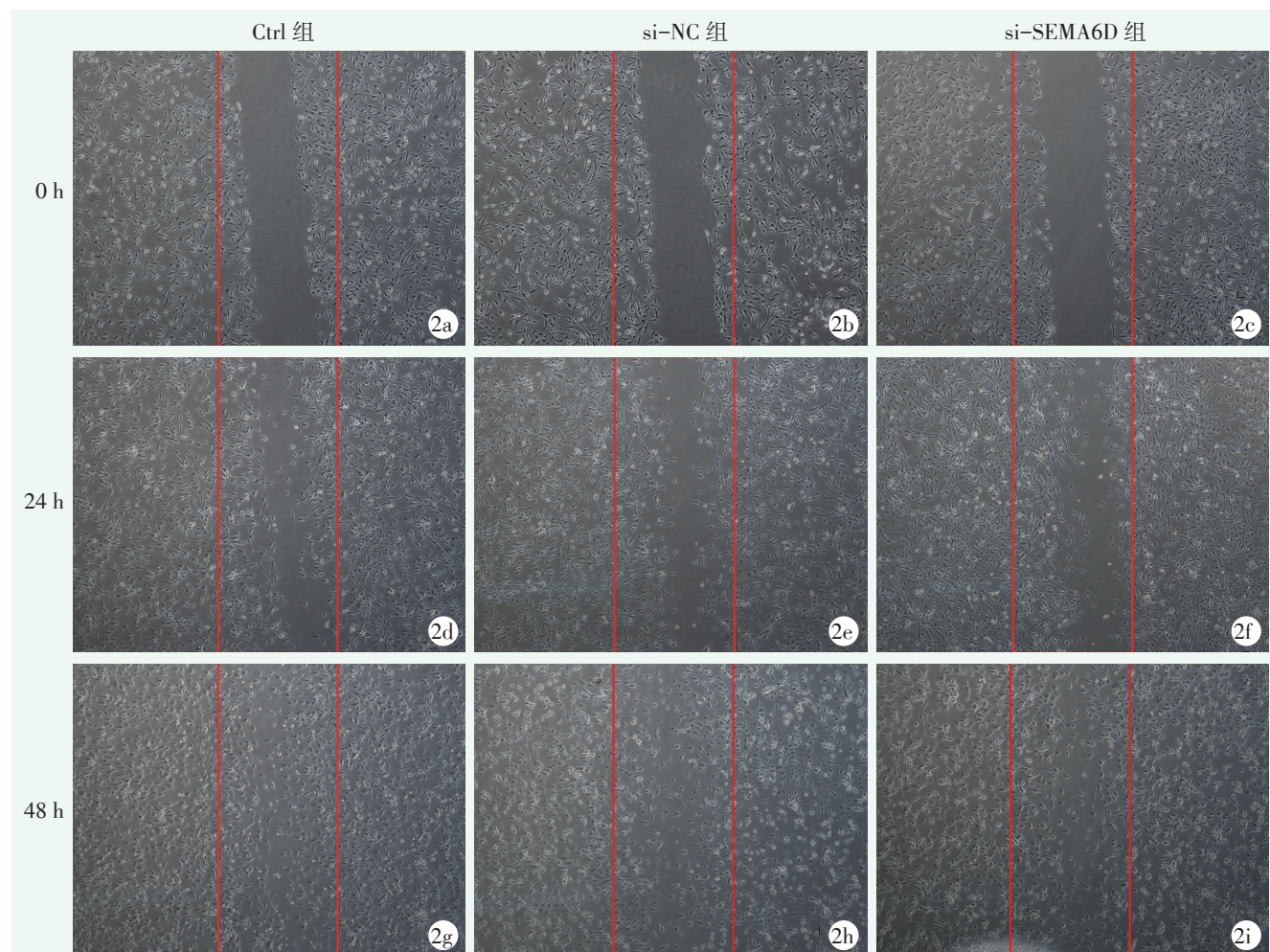


图2. 划痕实验检测MG63细胞迁移能力(×100)。2a~2c: 划痕后三组细胞; 2d~2f: 划痕24 h后三组细胞; 2g~2i: 划痕48 h后三组细胞。

Figure 2. Wound healing assay assessed the migratory capacity of MG63 cells (×100). 2a~2c: the three groups after scratching; 2d~2f: the three groups after scratching 24 hours; 2g~2i: the three groups after scratching 48 hours.

### 2.4 Western blot 检测

Western blot检测结果见表1，相较于si-SEMA6D组，Ctrl组、si-NC组p-PI3K、p-AKT、p-p38、MMP2的蛋白表达水平均显著增加( $P<0.05$ )，而三组中P13K、AKT、p38、Bcl-2及Bax的表达水平差异无统计学意义( $P>0.05$ )。

## 3 讨论

OS是最常见的原发性骨肿瘤，病因至今仍不清楚，治疗方法包括术前新辅助化疗、手术切除（包括所有已知可切除的转移灶）、术后辅助化疗以及靶向治疗<sup>[3, 4]</sup>。尽管如此，OS的治疗形势仍不乐观，高

达20%的患者在确诊时已有转移病灶，以肺转移最为常见，常通过CT检查发现，而发生转移的患者长期生存率低于20%<sup>[11]</sup>。其预后生活质量与患者营养状态、是否存在病理性骨折、手术方式及睡眠质量等多种因素密切相关<sup>[12]</sup>。与其他肿瘤相比，OS至今未能找到切实可行的化疗方法以改善患者预后<sup>[13]</sup>。OS的血清学、遗传学或其他生物标志物的应用未在临床中普及，这限制了OS患者的随访和高危人群的筛查<sup>[14]</sup>。

Semaphorin (SEMA) 家族最早在神经系统中被发现，具有轴突导向作用，在维持正常神经生理功能方面发挥着重要作用<sup>[15]</sup>。SEMA6D作为SEMA家族的成员，发挥多种生物学作用。有研究表明，SE-

SEMA6D 可以通过调节巨噬细胞的脂代谢，使巨噬细胞极化为抗炎型，从而抑制肠炎发生<sup>[16]</sup>。曲思璇等<sup>[17]</sup>发现，SEMA6D 在胃癌组织高表达，且与胃癌的恶性程度呈正相关。另外，Lee 等<sup>[10]</sup>研究证实，SEMA6D 促进结肠癌的血管生成，进而促进肿瘤进展。然而 Duan 等<sup>[8]</sup>提出，SEMA6D 在肾透明细胞癌中低表达，且 SEMA6D 可作为肾透明细胞癌的诊断及预后分子。过表达 SEMA6D 抑制肾透明细胞癌的增殖、迁移及侵袭。以上研究结果表明，SEMA6D 在癌症进展中具有多方面的功能。增殖和侵袭是癌症转移的重要前提与关键<sup>[18]</sup>，本研究通过 CCK-8 实验、迁移及侵袭实验发现，沉默 SEMA6D 可以抑制 OS 细胞的增殖、迁移及侵袭能力，表明下调 SEMA6D 可以阻碍 OS 的进展。

OS 病因复杂，其发生涉及胞内多种信号通路的改变，其中 PI3K/AKT 通路发挥重要作用<sup>[19, 20]</sup>。PI3K/AKT 是调控细胞生长、增殖、迁移、生存的重要途径，该通路的异常激活可导致多种肿瘤细胞的存活和增殖，与肿瘤的生长与发展密切相关<sup>[21-23]</sup>。基质金属蛋白酶 2 (matrix metalloproteinase2, MMP2) 是调节细胞外基质降解的重要细胞外蛋白水解酶，在肿瘤领域中被广泛研究，参与肿瘤细胞生长、血管生成、免疫监测及抑制生长信号的调节，并被证实参与包括 OS 在内的多种肿瘤细胞的迁移和侵袭行为<sup>[24, 25]</sup>。本研究发现，沉默 SEMA6D 抑制了 PI3K/AKT 信号通路的活化，同时抑制了侵袭相关蛋白 MMP2 的表达，这些结果均表明，沉默 SEMA6D 抑制了 OS 的侵袭能力，进而减弱了 OS 的转移能力。

综上所述，在人骨肉瘤 MG63 细胞中，沉默 SEMA6D 可能是通过抑制 PI3K/AKT 及 MMP2 的表达水平，进而抑制 MG63 细胞增殖、迁移及侵袭能力。本研究仅限于体外细胞实验，且未验证其他骨肉瘤细胞株，后续会行动物实验、增加其他骨肉瘤细胞株实验，进一步分析验证 SEMA6D 的作用机制。

**利益冲突声明** 所有作者声明无利益冲突

**作者贡献声明** 都展鸿：实施研究、数据采集及分析和解释、起草文章、统计分析；杨维经：实施研究、数据采集及分析和解释、统计分析；王雨婵、付雅璐：实施研究、数据采集及分析和解释；李庆慧：实施研究、数据采集及分析和解释、指导；孟玉菡：酝酿和设计实验、文章审阅、获取研究经费、提供行政及技术或材料支持、指导；刘兴龙：酝酿和设计实验、分析及解释数据、文章审阅、获取研究经费、提供行政及技术或材料支持、指导、支持性贡献

## 参考文献

- [1] Siegel RL, Miller KD, Jemal A. Cancer statistics, 2018 [J]. CA Cancer J Clin, 2018, 68 (1) : 7–30. DOI: 10.3322/caac.21442.
- [2] Sakamoto A, Iwamoto Y. Current status and perspectives regarding the treatment of osteosarcoma: chemotherapy [J]. Rev Recent Clin Trials, 2008, 3 (3) : 228–231. DOI: 10.2174/157488708785700267.
- [3] 吴岳, 要星辰, 史湘君, 等. miR-17-92 基因簇对骨肉瘤细胞增殖侵袭的影响 [J]. 中国矫形外科杂志, 2023, 31 (17) : 1599–1603. DOI: 10.3977/j.issn.1005-8478.2023.17.12.
- [4] Wu Y, Yao XC, Shi XJ, et al. Effects of miR-17-92 gene cluster on proliferation and invasion of osteosarcoma cells [J]. Orthopedic Journal of China, 2023, 31 (17) : 1599–1603. DOI: 10.3977/j.issn.1005-8478.2023.17.12.
- [5] Chen CL, Xie L, Ren TT, et al. Immunotherapy for osteosarcoma: Fundamental mechanism, rationale, and recent breakthroughs [J]. Cancer Lett, 2021, 500: 1–10. DOI: 10.1016/j.canlet.2020.12.024.
- [6] Leslie JR, Imai F, Fukuhara K, et al. Ectopic myelinating oligodendrocytes in the dorsal spinal cord as a consequence of altered semaphorin 6D signaling inhibit synapse formation [J]. Development, 2011, 138 (18) : 4085–4095. DOI: 10.1242/dev.066076.
- [7] Toyofuku T, Zhang H, Kumanogoh A, et al. Guidance of myocardial patterning in cardiac development by Sema6D reverse signalling [J]. Nat Cell Biol, 2004, 6 (12) : 1204–1211. DOI: 10.1038/nclb1193.
- [8] Wang YY, Zhang L, Chen YT, et al. Screening and identification of biomarkers associated with the diagnosis and prognosis of lung adenocarcinoma [J]. J Clin Lab Anal, 2020, 34 (10) : e23450. DOI: 10.1002/jcla.23450.
- [9] Duan JC, Jin MY, Qiao BP. Semaphorin 6D as an independent predictor for better prognosis in clear cell renal cell carcinoma [J]. Transl Oncol, 2022, 22: 101453. DOI: 10.1016/j.tranon.2022.101453.
- [10] Lu YJ, Xu Q, Chen L, et al. Expression of semaphorin 6D and its receptor plexin-A1 in gastric cancer and their association with tumor angiogenesis [J]. Oncol Lett, 2016, 12 (5) : 3967–3974. DOI: 10.3892/ol.2016.5208.
- [11] Lee Y, Kim SJ, Choo J, et al. miR-23a-3p is a key regulator of IL-17C-induced tumor angiogenesis in colorectal cancer [J]. Cells, 2020, 9 (6) : 1363. DOI: 10.3390/cells9061363.
- [12] Meltzer PS, Helman LJ. New horizons in the treatment of osteosarcoma [J]. N Engl J Med, 2021, 385 (22) : 2066–2076. DOI: 10.1056/NEJMra2103423.
- [13] 刘英梅, 商雪娇, 李宏. 影响骨肉瘤治疗后生活质量的相关因素分析 [J]. 中国矫形外科杂志, 2024, 32 (3) : 279–283. DOI: 10.3977/j.issn.1005-8478.2024.03.17.
- [14] Liu YM, Shang XJ, Li H. Factors impacting quality of life after treatment of osteosarcoma [J]. Orthopedic Journal of China, 2024, 32 (3) : 279–283. DOI: 10.3977/j.issn.1005-8478.2024.03.17.
- [15] 杜建航, 鲍小刚, 许国华, 等. 骨肉瘤免疫治疗进展 [J]. 中国矫形外科杂志, 2023, 31 (17) : 1594–1598. DOI: 10.3870/j.issn.1004-0781.2020.08.012.

- Du JH, Bao XG, Xu GH, et al. Research progress of osteosarcoma immunotherapy [J]. Orthopedic Journal of China, 2023, 31 (17) : 1594–1598. DOI: 10.3870/j.issn.1004-0781.2020.08.012.
- [14] Pekarek L, De la Torre-Escuredo B, Fraile-Martinez O, et al. Towards the search for potential biomarkers in osteosarcoma: state-of-the-art and translational expectations [J]. Int J Mol Sci, 2022, 23 (23) : 14939. DOI: 10.3390/ijms232314939.
- [15] Nakanishi Y, Izumi M, Matsushita H, et al. Semaphorin 6D tunes amygdalar circuits for emotional, metabolic, and inflammatory outputs [J]. Neuron, 2024, 112 (17) : 2955–2972. DOI: 10.1016/j.neuron.2024.06.017.
- [16] Kang SJ, Nakanishi Y, Kioi Y, et al. Semaphorin 6D reverse signaling controls macrophage lipid metabolism and anti-inflammatory polarization [J]. Nat Immunol, 2018, 19 (6) : 561–570. DOI: 10.1038/s41590-018-0108-0.
- [17] 曲思璇, 杨兆丽, 陶洪迪, 等. 脑信号蛋白 6D (SEMA6D) 与 Snail 蛋白在胃癌组织高表达且与恶性临床病理指标呈正相关 [J]. 细胞与分子免疫学杂志, 2019, 35 (10) : 932–937. DOI: 10.13423/j.cnki.cjcmi.008927.
- Qu SX, Yang ZL, Tao HD, et al. Semaphorin 6D and Snail are highly expressed in gastric cancer and positively correlated with malignant clinicopathological indexes [J]. Chinese Journal of Cellular Molecular Immunology, 2019, 35 (10) : 932–937. DOI: 10.13423/j.cnki.cjcmi.008927.
- [18] Cheng B, Rong AM, Zhou QB, et al. LncRNA LINC00662 promotes colon cancer tumor growth and metastasis by competitively binding with miR-340-5p to regulate CLDN8/IL22 co-expression and activating ERK signaling pathway [J]. J Exp Clin Cancer Res, 2020, 39 (1) : 5. DOI: 10.1186/s13046-019-1510-7.
- [19] Li XD, Huang QS, Wang SL, et al. HER4 promotes the growth and metastasis of osteosarcoma via the PI3K/AKT pathway [J]. Acta Biochim Biophys Sin (Shanghai), 2020, 52 (4) : 345–362. DOI: 10.1093/abbs/gmaa004.
- [20] 王俊义, 席光辉, 张成勇, 等. miR-100 对骨肉瘤细胞增殖、侵袭、迁移能力的影响 [J]. 中国矫形外科杂志, 2018, 26 (9) : 840–844. DOI: 10.3977/j.issn.1005-8478.2018.09.15.
- Wang JY, Xi GH, Zhang CY, et al. Effects of miR-100 on proliferation, invasion and migration of osteosarcoma cells [J]. Orthopedic Journal of China, 2018, 26 (9) : 840–844. DOI: 10.3977/j.issn.1005-8478.2018.09.15.
- [21] Luo J, Yao JF, Deng XF, et al. 14, 15-EET induces breast cancer cell EMT and cisplatin resistance by up-regulating integrin  $\alpha v\beta 3$  and activating FAK/PI3K/AKT signaling [J]. J Exp Clin Cancer Res, 2018, 37 (1) : 23. DOI: 10.1186/s13046-018-0694-6.
- [22] Spangle JM, Dreijerink KM, Groner AC, et al. PI3K/AKT Signaling Regulates H3K4 Methylation in Breast Cancer [J]. Cell Rep, 2016, 15 (12) : 2692–2704. DOI: 10.1016/j.celrep.2016.05.046.
- [23] Xu JC, Chen TY, Liao LT, et al. NETO2 promotes esophageal cancer progression by inducing proliferation and metastasis via PI3K/AKT and ERK pathway [J]. Int J Biol Sci, 2021, 17 (1) : 259–270. DOI: 10.7150/ijbs.53795.
- [24] Cabral-Pacheco GA, Garza-Veloz I, Castruita-De la Rosa C, et al. The roles of matrix metalloproteinases and their inhibitors in human diseases [J]. Int J Mol Sci, 2020, 21 (24) : 9739. DOI: 10.3390/ijms21249739.
- [25] Zhu KP, Ma XL, Zhang CL. LncRNA ODRUL contributes to osteosarcoma progression through the miR-3182/MMP2 axis [J]. Mol Ther, 2017, 25 (10) : 2383–2393. DOI: 10.1016/j.molther.2017.06.027.

(收稿:2024-09-01 修回:2025-01-10)

(同行评议专家: 张开亮, 王剑利, 谢伟, 肖腾飞)

(本文编辑: 宁桦)